

ВЫСОКОМОЛЕКУЛЯРНЫЕ

Том (A) IX]

СОЕДИНЕНИЯ

№ 3

1967

УДК 678.743 : 678.01 : 53

ТЕПЛОЕМКОСТЬ ВИНИЛХЛОРИДА, ПОЛИВИНИЛХЛОРИДА И ПОЛИВИНИЛИДЕНХЛОРИДА В ОБЛАСТИ 60—300° К

Б. В. Лебедев, И. Б. Рабинович, В. А. Бударина*

В данной статье приводятся результаты исследования теплоемкости винилхлорида (ВХ), поливинилхлорида (ПВХ) и поливинилиденхлорида (ПВИХ) в области температуры от 60 до 300° К (теплоемкость винилиденхлорида уже была изучена в работе [1]).

Экспериментальная часть

В работе использовали адиабатический вакуумный калориметр, описанный в [2]. Темповое значение калориметра в области температур от 60 до 300° К было определено по результатам серии измерений с бензойной кислотой, для которой существуют надежные данные [3, 4] о теплоемкости.

Температуру измеряли платиновым термометром сопротивления, изготовленным из проволоки марки «Экстра». Термометр прокалиброван методом сравнения с двумя эталонными платиновыми термометрами сопротивления.

Сопротивление измерительного термометра при 0° С составляет 22,9865 ом, а температурный коэффициент его сопротивления равен 0,003882 ом·град⁻¹. Ошибка измерения температуры была не более 0,001°.

Использованная методика измерений описана в работе [2]. Точность ее была проверена путем измерения теплоемкости хлористого калия (ч.д.а.). (В области 60—300° К были получены 50 значений теплоемкости). Отклонения экспериментальных точек от усредняющей кривой, как правило, не превышали 0,2—0,3%. Усредненные значения теплоемкости отличались от литературных данных [5] не более, чем на 0,5%.

Во всех опытах темповое значение калориметра составляло около 50% суммарной теплоемкости системы (калориметра с исследуемым веществом). Для улучшения теплопроводности системы во всех опытах с полимерами калориметр, после внесения в него изучаемого вещества, заполняли сухим гелием под давлением до одной атмосферы. Теплоемкость гелия, заполнившего калориметр (0,003 кал), включали в темповое значение калориметра. Во всех расчетах принято 1 кал = 4,184 дж.

Чистота ВХ была проверена определением депрессии температуры плавления (найдено, Т. пл. 119,23 ± 0,01° К; для чистого ВХ должна быть Т. пл. 119,34 ± 0,1° К; найденной депрессии соответствует содержание в образце ВХ 0,30 мол. % примесей*). В калориметр было помещено около 20 г ВХ. В области 58—300° К получено 60 значений теплоемкости (рис. 1). Среднее отклонение экспериментальных точек от усредняющей кривой в интервале от 60 до 110° К (до твердого состояния) составляет 0,5%, а от 120 до 300° К (для жидкого состояния) — 1%.

Три определения теплоты плавления дали результаты: 1170, 1172 и 1178 кал/моль. Первые два значения были получены методом непрерывного ввода тепла [6], третье —

* Мольную долю примесей (N_2) вычисляли по формуле

$$N_2 = \Delta H_{\text{пл}} (T_{\text{пл}} - T_1) / RT_0^2, \quad (1)$$

T_0 и T_1 были определены по графику зависимости равновесной температуры системы в процессе плавления от отношения теплоты плавления ($\Delta H_{\text{пл}}$) к количеству теплоты, введенной в систему ($\Delta H_{\text{введ}}$). Величину $\Delta H_{\text{пл}}$ определяли по графику зависимости температуры системы от величины $\Delta H_{\text{введ}}$ в процессе нагревания [7, 8].

по графику зависимости температуры системы от количества введенной теплоты [7, 8]. Среднее значение теплоты плавления составляет 1175 ± 5 кал/моль.

Изучавшиеся образцы ПВХ и ПВИХ были получены супензионной полимеризацией чистых мономеров при 50°C . После промывки и длительной сушки полимеров в вакууме при 70°C анализ показал содержание примесей не более 0,3%. Содержание хлора в ПВХ — 56,4%, в ПВИХ — 72,9% (теоретическое содержание хлора — 56,7% и 73,1% соответственно). Молекулярный вес ПВХ, определенный по вязкости

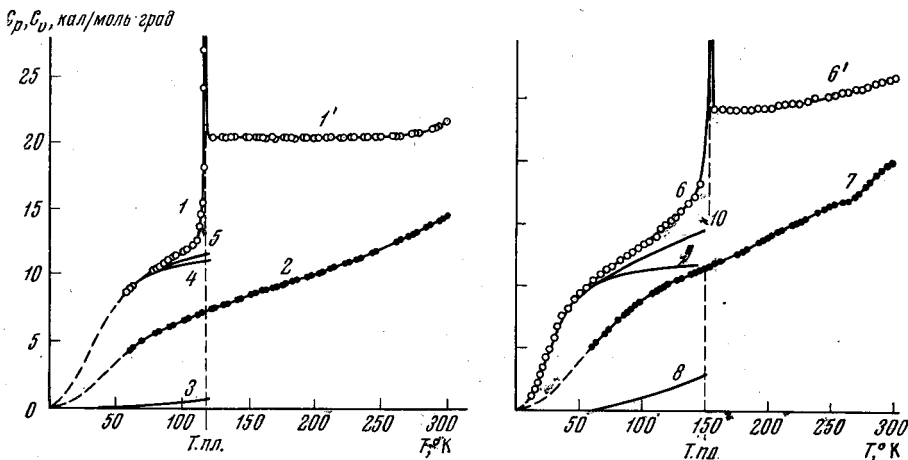


Рис. 1. Зависимость теплоемкости от температуры:

$1 — C_p$ (ВХ, тв.); $1' — C_p$ (ВХ, ж.); $2 — C_p$ (ПВХ); $3, 4 — C_v$, атом (ВХ) и C_v , реш (ВХ) слагаемые, обусловленные атомными и решеточными колебаниями ВХ, соответственно; $5 — C_v$ суммарная изохорная теплоемкость; $6 — C_p$ (ВИХ, тв.); $6' — C_p$ (ВИХ, ж.); $7 — C_p$ (ПВИХ); 8 и $9 — C_{v, \text{атом}}$ (ВИХ) и $C_{v, \text{реш}}$ (ВИХ) слагаемые, обусловленные атомными и решеточными колебаниями ВИХ, соответственно; $10 — C_v$ (ВИХ) суммарная изохорная теплоемкость

его растворов, составляя 130 000. Рентгенографические исследования образцов показали, что степень кристалличности ПВХ около 20%, а ПВИХ — 40%.

Теплоемкость (C_p) обоих полимеров измеряли в области 58 — 300°K , и для каждого из них получено около 60 экспериментальных точек. На рис. 2 представлена температурная зависимость теплоемкости в расчете на повторяющуюся группу (кал/моль·град², где моль составляет 62,49 г для ПВХ и 96,94 г — для ПВИХ). Отклонение экспериментальных точек от усредняющих кривых — 0,5% (взяты навески: 22 г ПВХ и 13 г ПВИХ).

Обсуждение результатов

В области от 60 до 110°K теплоемкость ВХ (рис. 1) возрастает от $9,15$ до $12,37$ кал/моль·град со средним температурным коэффициентом $0,0646$ кал/моль·град². В интервале от 110 до 118°K наблюдается быстрый рост теплоемкости до $18,60$ кал/моль·град, и при $119,23^\circ\text{K}$ наблюдается разрыв кривой $C_p = f(T)$, соответствующий плавлению ВХ. В области температур от 120 до 250°K теплоемкость ВХ имеет среднее значение $20,35$ кал/моль·град, причем температурный коэффициент ее очень мал, что обычно характерно для жидкостей. В интервале 250 — 300°K теплоемкость ВХ изменяется от $20,38$ до $21,47$ кал/моль·град с температурным коэффициентом $0,020$ кал/моль·град². Сравнительно быстрый рост ее в этом интервале может быть объяснен тем, что здесь происходит резкое увеличение давления пара с ростом температуры ($T_{\text{кип}}(\text{ВХ}) 259,51^\circ\text{K} / 760 \text{ mm}$), поэтому к истинной теплоемкости добавляется количество теплоты, необходимое на испарение некоторого количе-

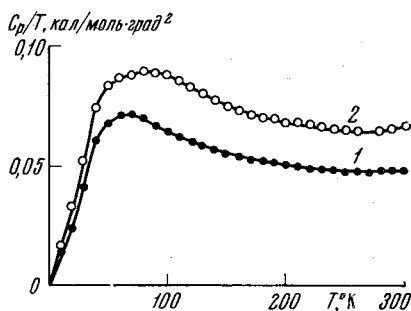


Рис. 2. Температурный коэффициент энтропии винилхлорида (1) и винилиденхлорида (2)

ства BX до установления равновесного давления пара в калориметре. Графически усредненные значения теплоемкости BX в изученном интервале температуры приведены в табл. 1.

Полученные значения температуры плавления $119,31 \pm 0,04^\circ\text{K}$ хорошо совпадают с данными работы [9], а теплоты плавления с данными, найденными другими методами [10]. Температура плавления BX ($113,50^\circ\text{K}$), приведенная в работе [10], по-видимому, занижена.

Кривая $C_p = f(T)$ экстраполирована от нижнего предела измерения к 0°K по уравнению

$$C_p = 2D(150/T) + E_1(360/T) + E_2(520/T), \quad (2)$$

где D — символ функции Дебая для теплоемкости; E_1 и E_2 — символы функций Эйнштейна; 150, 360, 520 — постоянные параметры.

Таблица 1

Термодинамические функции винилхлорида

$T, ^\circ\text{K}$	$C_p, \frac{\text{кал}}{\text{моль}\cdot\text{град}}$	$S^0, \frac{\text{кал}}{\text{моль}\cdot\text{град}}$	$H^0 - H_0^0, \frac{\text{кал}}{\text{моль}}$	$-(G^0 - G_0^0), \frac{\text{кал}}{\text{моль}}$	$T, ^\circ\text{K}$	$C_p, \frac{\text{кал}}{\text{моль}\cdot\text{град}}$	$S^0, \frac{\text{кал}}{\text{моль}\cdot\text{град}}$	$H^0 - H_0^0, \frac{\text{кал}}{\text{моль}}$	$-(G^0 - G_0^0), \frac{\text{кал}}{\text{моль}}$
Твердое состояние									
25	3,16 ₄	1,313 ₄	25,5 ₉	10,4 ₅	175	20,3 ₃	31,6 ₂	320 ₂	233 ₅
50	7,97 ₁	5,06 ₂	165,5	87,5 ₉	200	20,3 ₄	34,3 ₅	371 ₀	315 ₆
75	10,1 ₄	8,77 ₉	397,7	264 ₀	225	20,3 ₅	36,7 ₄	421 ₈	405 ₀
100	11,8 ₀	11,9 ₄	670,9	552 ₅	250	20,3 ₈	38,8 ₉	472 ₇	499 ₄
119,23	12,8 ₄	14,1 ₁	908,3	784 ₉	275	20,6 ₈	40,8 ₄	524 ₀	599 ₂
					298,16	21,3 ₈	42,5 ₄	572 ₆	595 ₈
					300	21,4 ₇	42,6 ₇	576 ₅	703 ₆
Жидкое состояние									
119,23	20,3 ₁	23,8 ₃	206 ₈	784 ₉					
125	20,3 ₁	24,7 ₈	218 ₅	916 ₀					
150	20,3 ₂	28,5 ₀	269 ₃	158 ₁					

Обозначения: S — энтропия, H — энтальпия, G — изобарный потенциал.

Уравнение (2), представляющее собой специально подобранный комбинацию функций Эйнштейна и Дебая, описывает экспериментальные значения теплоемкости BX в интервале температур от 60 до 100°K с точностью 0,5%.

Посредством графического интегрирования кривых $C_p = f(T)$ и $C_p = f(\lg T)$ вычислены термодинамические функции: S^0 , $H^0 - H_0^0$ и $G^0 - G_0^0$, приведенные в табл. 1.

Движения молекул в твердой фазе с молекулярной решеткой состоят из трех степеней свободы поступательных колебаний и трех степеней свободы либраций. В случаях, когда соответствующие частоты не известны в литературе [11, 12], принято решеточное слагаемое теплоемкости ($C_v, \text{реш}$) выражать функцией Дебая с шестью степенями свободы и средней характеристической температурой (θ_D). Ввиду этого, для суммарной теплоемкости BX и ВИХ имеем:

$$C_p = 6D(\theta_D/T) + \sum_{i=1}^{12} E(\theta_E/T) + (C_p - C_v), \quad (3)$$

где

$$6D(\theta_D/T) = C_v, \text{ реш}; \quad \sum_{i=1}^{12} E(\theta_E/T) = C_v, \text{ атом} -$$

слагаемое, обусловленное атомными колебаниями. Значения θ_D , вычисленные из экспериментальных величин теплоемкости ниже 70°K, состав-

ляют для BX — 141°, для ВИХ — 118° (экспериментальные значения C_p для ВИХ взяты из работы [1]). Интересно отметить, что соблюдается соотношение

$$\theta_D(\text{ВИХ}) / \theta_D(\text{BX}) \cong \gamma \bar{M}(\text{ВИХ}) / M(\text{BX}) = 1,22,$$

где M — молекулярный вес.

C_v , атом рассчитано в настоящей работе по спектральным данным [13] в области 60–120° К для BX и по данным [1] в области 60–150° К для ВИХ. В табл. 2 приведены значения C_v , реш, C_v , атом и $\gamma = C_p / C_v$, а на рис. 1 и 2 — C_v , атом, C_v , реш, $C_v = C_v$, реш + C_v , атом (для BX и ВИХ).

Таблица 2

Составляющие изохорной теплоемкости BX и ВИХ *

T, °К	Винилхлорид			Винилиденхлорид		
	C_v , реш кал/моль·град	C_v , атом	$\gamma = \frac{C_p}{C_v}$	C_v , реш кал/моль·град	C_v , атом	$\gamma = \frac{C_p}{C_v}$
				кал/моль·град	кал/моль·град	
20	2,27	—	1,00	3,27	—	1,00
40	6,82	—	1,00	7,80	0,011	1,00
60	9,09	0,017	1,00	9,91	0,99	1,03
80	10,20	0,103	1,02	11,11	0,44	1,06
100	10,82	0,239	1,06	11,99	0,89	1,10
120	11,10	0,482	1,11	12,94	1,60	1,14
140	—	—	—	13,94	2,40	1,20
150	—	—	—	14,30	2,76	1,26

* Результаты расчетов по экспериментальным данным для C_p BX (авторов) и ВИХ из работы [1], а также спектральным данным работ [10] и [1].

Теплоемкость ПВХ возрастает от 4,61 кал/моль·град при 60° К до 14,45 кал/моль·град при 300° К. Теплоемкость ПВИХ возрастает от 5,15 кал/моль·град при 60° К до 16,38 кал/моль·град при 250° К. Около 260° К на кривой $C_p = f(T)$ наблюдается отчетливый излом, после которого температурный коэффициент теплоемкости значительно увеличивается (C_p растет от 16,70 кал/моль·град при 262° К до 19,97 кал/моль·град при 300° К). При 260° К, по-видимому, происходит расстекловывание ПВИХ. По термомеханическим кривым установлено, что температура стеклования ПВИХ равна 258° К [14]. Следовательно, предположение Сочавы [15], что расстекловывание ПВИХ наступает вблизи 200° К, не подтверждается.

Результаты авторов для теплоемкости ПВИХ в пределах ошибки эксперимента в интервале от 50 до 120° К совпадают с данными [15]; при 130° наблюдается расхождение около 3%, затем оно быстро увеличивается и достигает 20% при 200° К (по данным [15] теплоемкость ПВИХ выше). Анализ причин этих расхождений, к сожалению, невозможен из-за того, что в [15] не приведено никаких данных, характеризующих изучавшийся образец ПВИХ и методику измерения теплоемкости.

Усредненные экспериментальные величины теплоемкости изученных полимеров даны в табл. 3.

Для экстраполяции теплоемкости ПВХ и ПВИХ от нижнего предела измерений к 0° К мы использовали двухпараметровое уравнение, предложенное Тарасовым [16, 17] для случая, когда нельзя пренебречь межмолекулярным взаимодействием.

Для ПВХ взято уравнение (4), а для ПВИХ — (5)

$$C_p = \frac{3}{2} \left\{ D_1 \left(\frac{350}{T} \right) - \frac{175}{350} \left[D \left(\frac{175}{T} \right) - D_3 \left(\frac{175}{T} \right) \right] \right\}, \quad (4)$$

$$C_p = 2 \left\{ D_1 \left(\frac{402}{T} \right) - \frac{161}{402} \left[D_1 \left(\frac{161}{T} \right) - D_3 \left(\frac{161}{T} \right) \right] \right\}, \quad (5)$$

где D_1 и D_3 — функции Тарасова и Дебая, соответственно; 350, 175, 402, 161 — значения постоянных параметров. Уравнения (5) и (6) описывают экспериментальные значения теплоемкости в интервале $60 \div 110^\circ\text{K}$ с точностью не менее 0,5%.

Путем графического интегрирования по кривым $C_p = f(T)$ и $C_p = f(\lg T)$ для ПВХ и ВИХ рассчитаны функции: S^0 , $H^0 - H_0^0$, $G^0 - G_0^0$ (табл. 3). При вычислении энтропии полимеров авторы пренебрегали ее нулевыми значениями, что принято в литературе [18, 19].

Таблица 3
Термодинамические функции поливинилхлорида и поливинилиденхлорида

T, °К	Поливинилхлорид				Поливинилиденхлорид			
	C_p , кал моль·град	S^0 , кал моль·град	$H^0 - H_0^0$, кал моль	$-(G^0 - G_0^0)$, кал моль	C_p , кал моль·град	S^0 , кал моль·град	$H^0 - H_0^0$, кал моль	$-(G^0 - G_0^0)$, кал моль
25	0,8740	0,4388	7,480	4,288	1,1100	0,5402	9,675	4,905
50	3,380	1,774	59,26	29,43	4,153	2,186	73,25	36,06
75	5,280	3,542	170,7	96,78	6,610	4,344	209,2	118,8
100	6,441	5,239	317,7	206,2	8,800	6,560	401,7	254,3
125	7,435	6,789	491,8	357,6	10,19	8,678	640,5	446,2
150	8,327	8,220	688,8	544,7	11,35	10,64	909,5	687,2
175	9,170	9,565	9074	767,8	12,50	12,48	1207	977,3
200	10,08	10,84	1148	1021	13,76	14,22	1534	1310
225	10,99	12,07	1411	1306	15,23	15,92	1897	1688
250	11,91	13,28	1697	1622	16,38	17,59	2292	2106
275	12,99	14,46	2008	2019	17,70	19,20	2714	2567
298,16	14,33	15,56	2323	2317	19,85	20,72	3149	3029
300	14,45	15,65	2349	2345	19,97	20,84	3186	3068

На рис. 2 представлено изменение температурного коэффициента энтропии с температурой: $[C_p / T = (\partial S / \partial T)_p] = f(T)$ для ПВХ и ПВИХ. Интересно, что быстрый рост C_p / T относится к температурам до $60-80^\circ\text{K}$, что, по-видимому, характерно для цепных полимеров [20, 21]. Теплоемкость ВХ в твердом состоянии выше теплоемкости ПВХ в среднем на 75%, а теплоемкость твердого ВИХ выше теплоемкости ПВИХ в среднем на 40%.

Для расчета изменений энталпии ($\Delta H_{\text{пол}}$), энтропии ($\Delta S_{\text{пол}}^0$), изобарного потенциала ($\Delta G_{\text{пол}}^0$) при полимеризации, а также констант полимеризационно-деполимеризационного равновесия ВХ и ВИХ, кроме описанных результатов авторов, использованы данные [22, 23] о теплотах полимеризации ВХ ($26,0 \text{ ккал/моль}$) и ВИХ ($18,0 \pm 0,7 \text{ ккал/моль}$).

Таблица 4
Изменение термодинамических функций при полимеризации винилхлорида и винилиденхлорида *

T°, K	ВХ → ПВХ			ВИХ → ПВИХ		
	$-\Delta H_{\text{пол}}^0$, ккал моль	$-\Delta S_{\text{пол}}^0$, кал моль·град	$-\Delta G_{\text{пол}}^0$, ккал моль	$-\Delta H_{\text{пол}}^0$, ккал моль	$-\Delta S_{\text{пол}}^0$, кал моль	$-\Delta G_{\text{пол}}^0$, ккал моль
50	23,5	3,288	23,4	14,5	4,821	14,3
100	23,8	6,695	23,1	14,7	8,147	13,9
150	25,4	20,28	22,4	15,0	10,23	13,5
200	26,0	23,58	21,3	17,1	23,92	2,3
250	26,4	25,61	20,0	17,6	26,04	1,1
298,16	26,8	26,98	18,8	18,0	27,44	19,8
300	26,8	27,02	18,7	18,0	27,48	19,8

* $\Delta H_{\text{пол}}^0$ рассчитывали по формуле Кирхгоффа, причем использовали величину $\Delta H_{\text{пол}}^0$, равную $-26,0$ и $-18,0 \text{ ккал/моль}$ для ВХ и ВИХ [22, 23], соответственно.

Рассчитанные значения указанных величин приведены в табл. 4.

Как видно из табл. 4, $\Delta H_{\text{пол}}^0$ и $\Delta S_{\text{пол}}^0$ для обеих изученных систем меньше нуля, а предельная температура полимеризации $T_{\text{пред}} = \Delta H_{\text{пол}}^0 / \Delta S_{\text{пол}}^0$ очень высока.

Расчет констант равновесия мономер \rightleftharpoons полимер при 298° К привел к значениям $6,0 \cdot 10^{12}$ для ВХ и $1,5 \cdot 10^6$ для ВИХ. Соответствующие равновесные концентрации мономеров составляют $1,6 \cdot 10^{-11}$ и $6,5 \cdot 10^{-5}$ мол. %. Очень большие значения констант полимеризационно-деполимеризационного равновесия изученных систем соответствуют экспериментальному факту практически полного смещения равновесия в сторону образования полимера.

Выводы

1. Калориметрически изучена теплоемкость винилхлорида, поливинилхлорида и поливинилиденхлорида в области температур от 60 до 300° К, с точностью 0,5 %.

2. Рассчитаны изменения энталпии, энтропии и изобарного потенциала при полимеризации ВХ и ВИХ, в зависимости от температуры.

3. Подобраны функции для экстраполяции экспериментальных кривых $C_p = f(T)$ к $T = 0$. Рассчитаны и табулированы через 25° в области от 0 до 300° К функции: S^0 , $H^0 - H_0^0$, $G^0 - G_0^0$ указанных веществ.

4. По экспериментальным данным о теплоемкости рассчитаны средние характеристические температуры решеточных (молекулярных) движений для ВХ и ВИХ. По спектральным данным вычислены слагаемые теплоемкости, обусловленные атомными колебаниями. Оценены величины $v = C_p / C_v$ для ВХ и ВИХ в твердой фазе.

5. Уточнены значения температуры и теплоты плавления ВХ.

Институт химии при Горьковском
государственном университете
им. Н. И. Лобачевского

Поступила в редакцию
13 XI 1965

ЛИТЕРАТУРА

1. D. L. Hildenbrandt, D. A. McDonald, W. R. Kramer, D. R. Stull, J. Chem. Phys., 30, 930, 1959.
2. М. М. Попов, В. П. Колесов, Ж. общ. химии, 26, 2385, 1956.
3. А. А. Склянкин, П. Г. Стрелков, В. Н. Кострюков, Измерит. техника, 1964, 6.
4. Б. Н. Олейник, В. С. Усков, Ж. физ. химии, 38, 2162, 1964.
5. П. Г. Стрелков, Е. С. Ицкевич, В. Н. Кострюков и Г. Г. Мирская, Ж. физ. химии, 28, 645, 1954.
6. М. М. Попов, Термометрия и калориметрия, изд. МГУ, 1954, стр. 546.
7. A. R. Glasgow, Jr., A. Ü. Streiff, F. D. Rossini, J. Nat. Bur. Standards, 35, 355, 1945.
8. D. Tunnicliff, H. Stone, Analit. Chem., 27, 73, 1955.
9. D. R. Stull, Industr. and Engng. Chem., 39, 517, 1945.
10. Х. Шэллит, Хлористый винил, в сб. Мономеры, Изд. иностр. лит., 1951, стр. 190.
11. А. И. Китайгородский, Кристаллография, 7, 195, 1962.
12. В. Н. Кострюков, Д. О. Гумбатов, Ж. физ. химии, 39, 2046, 1965.
13. Ву. Р. Торингтон, Н. В. Томсон, J. Chem. Soc., 1944, 303.
14. Ю. С. Лазуркин, Диссертация, 1954.
15. И. В. Сочава, О. Н. Трапезников, Вестн. ЛГУ, 1964, 10.
16. В. В. Тараков, Ж. физ. химии, 24, 111, 1950.
17. В. В. Тараков, Г. А. Юницкий, Ж. физ. химии, 39, 2077, 1965.
18. N. Bekkendahl, H. Matheson, J. Res. Nat. Bur. Standards, 15, 503, 1935.
19. Е. И. Пауков, В. П. Колесов, С. М. Скуратов, Докл. АН СССР, 126, 325, 1959.
20. M. Dole, B. Wunderlich, Makromolek. Chem., 34, 29, 1959.
21. И. В. Сочава, О. Н. Трапезников, Вестн. ЛГУ, 1958, 16.
22. G. G. Sinke, D. R. Stull, J. Phys. Chem., 62, 397, 1958.
23. К. Мортимер, Теплоты реакций и прочность связей, изд. «Мир», 1964, стр. 120.

HEAT CAPACITY OF VINYLCHLORIDE, POLYVINYLCHLORIDE AND POLYVINYLDENECHLORIDE IN THE REGION 60—300° K

B. V. Lebedev, I. B. Rabinovich, V. A. Budarina

S u m m a r y

By means of calorimetric technique it has been studied heat capacity of vinylchloride (VC), polyvinylchloride and polyvinyldenechloride at 60—300° K with accuracy of 0.5%. The functions S^0 , $H^0 - H_0^0$ and $G^0 - G_0^0$ have been determined and tabulated for the range 0—300° K. It have been calculated ΔH , ΔS and ΔG of polymerization of VC and vinyldenechloride (VIC) in dependence on temperature. Basing on the experimental data on heat capacity the average characteristic temperatures of lattice motion of VC and VIC have been calculated. Using spectral data the heat capacity components related to atomic vibrations have been calculated. The values of $\gamma = C_p / C_v$ for VC and VIC in solid state have been estimated. The temperatures and heats of melting of VC have been specified.

ОПЕЧАТКИ

В статье Б. В. Лебедева и др., табл. 4, 7-я графа напечатано:
2,3; 1,1; 19,8; 19,8

Должно быть: 12,3; 11,1; 10,8; 10,8